

# A conformabilidade dos grafos subcúbicos conexos\*

Luerbio Faria<sup>1</sup>, Mauro Nigro<sup>1</sup>, Diana Sasaki<sup>1</sup>

<sup>1</sup>Instituto de Matemática e Estatística – Universidade do Estado do Rio de Janeiro (UERJ)  
Rio de Janeiro – RJ – Brasil

{luerbio, diana.sasaki}@ime.uerj.br, mauro.nigro@pos.ime.uerj.br

**Abstract.** In this paper we prove that every connected subcubic graph is conformable, except if  $G$  is either complete  $K_4$  or complete bipartite  $K_{3,3}$ . Our characterization leads to a polynomial-time algorithm.

**Resumo.** Neste artigo, provamos que todo grafo subcúbico conexo  $G$  é conformável, exceto se  $G$  é o completo  $K_4$  ou o bipartido completo  $K_{3,3}$ . Nossa caracterização conduz a um algoritmo de tempo polinomial.

## 1. Introdução

Seja  $G = (V, E)$  um grafo simples. Um grafo  $G$  é dito *subcúbico* se  $G$  possui grau no máximo 3. Uma  *$k$ -coloração de vértices* é uma atribuição de  $k$  cores aos vértices tal que vértices adjacentes tenham cores diferentes. A *deficiência* de  $G$  é a soma das diferenças entre o grau máximo  $\Delta(G)$  de  $G$  e o grau de cada vértice  $v$  em  $G$ , isto é,  $def(G) = \sum_{v \in V(G)} (\Delta(G) - d_G(v))$ . Um grafo  $G$  é *conformável* se possui uma  $(\Delta(G) + 1)$ -coloração de vértices  $\varphi$  em que o número de classes de cor (incluindo classes de cor vazias) com paridade diferente de  $|V(G)|$  é no máximo  $def(G)$ . Nesse caso, chamamos  $\varphi$  de *coloração conformável*. As cores são denotadas por números e uma classe de cor  $i \in \mathbb{N}$  por  $\mathcal{C}_i$ . Um grafo  $G$  é chamado de *não-conformável* se este não possui coloração conformável. Note que, em especial, para grafos regulares tem-se que  $def(G) = 0$ , e por consequência, para  $G$  ser conformável, toda classe de cor deve ter a mesma paridade da ordem do grafo regular  $G$ .

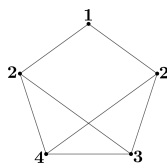


Figura 1. Um grafo subcúbico conformável com deficiência 1.

A Figura 1 apresenta um exemplo de um grafo conformável  $G$ , pois neste caso tem-se que a  $def(G) = 1$  e a única classe de cor com paridade diferente da sua ordem (ímpar) é  $\mathcal{C}_2$ . Os completos de ordem par são exemplos de grafos não-conformáveis. De fato, estes são grafos regulares e possuem cada classe de cor unitária (ímpar). Portanto, toda classe de cor tem paridade diferente da ordem do grafo.

Uma  *$k$ -coloração total* de  $G$  é uma atribuição de  $k$  cores aos vértices e às arestas de  $G$  tal que vértices (arestas) adjacentes tenham cores diferentes e cada vértice tenha cor

\*O presente trabalho foi realizado com apoio da Coordenação de Aperfeiçoamento de Pessoal de Nível Superior - Brasil (CAPES) - Código de Financiamento 001, do CNPq (406036/2021-7, 313797/2020-0, 308654/2018-8) e da FAPERJ (E26/201.360/2021 JCNE, E-26/010.002674/2019 ARC, E26/202.902/2018 CNE)

diferente das suas arestas incidentes. O *número cromático total*  $\chi''(G)$  é o menor  $k$  tal que  $G$  possui uma  $k$ -coloração total. Sabe-se que determiná-lo é um problema  $NP$ -difícil mesmo para grafos cúbicos bipartidos [Sánchez-Arroyo 1989]. A conhecida Conjectura da Coloração Total [Behzad 1965, Vizing 1968] afirma que  $\Delta(G)+1 \leq \chi''(G) \leq \Delta(G)+2$ . Um grafo  $G$  é dito *Tipo 1*, se  $\chi''(G) = \Delta(G) + 1$  e é dito *Tipo 2*, se  $\chi''(G) = \Delta(G) + 2$ . Consequentemente, se esta conjectura é válida, é possível classificar os grafos de acordo com seu número cromático total como Tipo 1 ou Tipo 2.

O problema de conformabilidade foi introduzido em 1988 motivado pelo resultado de que todo grafo Tipo 1 é conformable [Chetwynd and Hilton 1988]. Logo, sabe-se que grafos não-conformable não são Tipo 1. Vale notar que esta propriedade não é uma equivalência, pois existem grafos Tipo 2 e conformable. Por exemplo, foram verificados por [Chetwynd and Hilton 1988] que os grafos ciclo  $C_n$  são conformable, exceto  $C_5$ . Porém, sabe-se que  $C_n$  é Tipo 1 quando  $n$  é múltiplo de 3; e Tipo 2 caso contrário [Yap 1996]. [Hamilton et al. 1999] apresentaram famílias infinitas de grafos regulares não-conformable. [Campos and de Mello 2007] estabeleceram uma propriedade necessária para conformabilidade e uma conjectura sobre a coloração total dos grafos potência de ciclo. [Zorzi et al. 2021] mostraram que esta propriedade é suficiente para caracterizar a conformabilidade dos grafos potência de ciclo. Atualmente, a conjectura sobre a coloração total dos grafos potência de ciclo estabelece que todo grafo potência de ciclo conformable que não é o ciclo nem o completo é Tipo 1.

[Hilton and Hind 2002] demonstraram que se  $G$  é não-conformable, então sua deficiência possui um limite superior dado pelo Teorema 1.

**Teorema 1** ([Hilton and Hind 2002]). *Se  $G$  é um grafo não-conformable com  $\Delta(G) \geq 2$ , então*

$$def(G) \leq \begin{cases} \Delta(G) - 3, & \text{se } |V(G)| \text{ é par e } \Delta(G) \text{ é ímpar;} \\ \Delta(G) - 2, & \text{caso contrário.} \end{cases}$$

Para os grafos subcúbicos, temos que considerar 2 casos em aberto:  $def(G) = 0$ , se  $|V(G)|$  é par; e  $def(G) = 1$ , se  $|V(G)|$  é ímpar. Observe que o caso  $def(G) = 0$ , se  $|V(G)|$  é ímpar não é possível, pois implica em  $G$  ser cúbico e de ordem ímpar.

## 2. Resultado principal

A seguir, provamos que todo grafo subcúbico conexo é conformable, exceto  $K_4$  ou  $K_{3,3}$ . A construção conduz a um algoritmo de tempo polinomial para produzir a coloração.

**Lema 1** ([Hilton and Hind 2002]). *A deficiência de  $G$  é ímpar se, e somente se,  $\Delta(G)$  e  $|V(G)|$  são ambos ímpares.*

**Teorema 2.** *Todo grafo subcúbico conexo é conformable, exceto se este é o completo  $K_4$  ou o bipartido completo  $K_{3,3}$ .*

*Demonstração.* Suponha que  $G$  seja o  $K_4$  ou o  $K_{3,3}$ . Como  $\Delta(G) = 3$  e  $G$  é cúbico, então  $def(G) = 0$ . Se  $G$  é o  $K_4$ , então  $G$  é não-conformable, pois toda 4-coloração de vértices tem todas as classes de cor unitárias e assim ímpares. Se  $G$  é o  $K_{3,3}$ , então  $G$  é não-conformable, pois em toda 4-coloração de vértices em  $G$  existem no mínimo 2 classes de cor ímpares. De fato, seja  $X$  e  $Y$  a bipartição do  $K_{3,3}$ . Note que se desejamos que cada classe de cor seja par em uma 4-coloração de vértices do  $K_{3,3}$ , então esta só

poderá ter no máximo tamanho 2, pois as partes da bipartição têm tamanho 3. Assim, ao atribuir a mesma cor a dois vértices  $a, b \in X$ , existirá um único vértice em  $X \setminus \{a, b\}$  que não poderá pertencer a uma classe de cor par, pois este é adjacente a todos os vértices em  $Y$ . Como este argumento é análogo à parte  $Y$ , temos que toda 4-coloração de vértices em  $G$  tem no mínimo 2 classes de cor ímpares.

Suponha que  $G$  não é o  $K_4$  nem o  $K_{3,3}$ . Pelo Teorema de Brooks [Brooks 1941], existe uma 3-coloração de vértices  $\varphi$ , que pode ser obtida em tempo polinomial para  $G$ . Sejam  $\mathcal{C}_1, \mathcal{C}_2$  e  $\mathcal{C}_3$  as classes de cor de  $\varphi$ . A partir de agora, construiremos uma 4-coloração de vértices  $\phi$  com as classes de cor  $\mathcal{C}_1, \mathcal{C}_2$  e  $\mathcal{C}_3$  de  $\varphi$  e uma nova classe de cor  $\mathcal{C}_4$ . Se  $|V(G)|$  é par, então pelo Lema 1, a deficiência de  $G$  é par. Além disso, em qualquer 3-coloração de vértices ou cada classe de cor é par, ou existe uma única classe de cor par, pois  $|V(G)|$  é par. Para o primeiro caso, a 4-coloração de vértices  $\phi$  com  $\mathcal{C}_4 = \emptyset$  é uma coloração conformable, pois todas as classes de cor são pares. Para o segundo caso, considere  $\mathcal{C}_2$  a única classe de cor par em  $\varphi$ . Se  $def(G) > 0$ , então  $def(G) \geq 2$  porque  $def(G)$  é par. Assim  $\phi$  é uma coloração conformable, pois o número de classes de cor com paridade diferente (classes de cor ímpares) de  $|V(G)|$  é 2. Portanto, devemos considerar  $def(G) = 0$ , ou seja,  $G$  é cúbico. Considere a seguinte Afirmação 1.

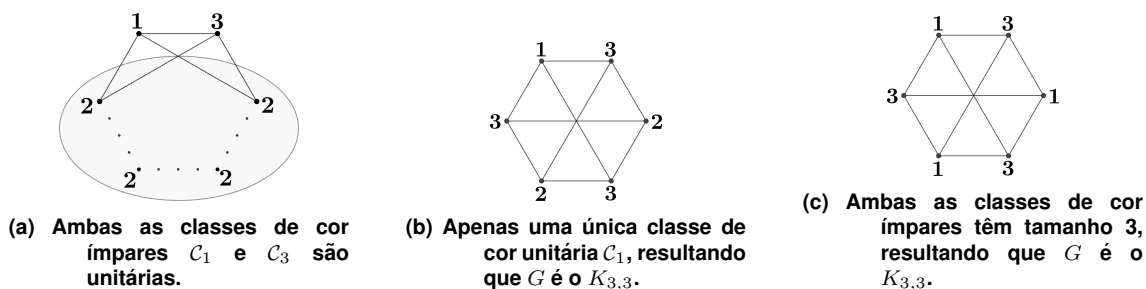
**Afirmação 1.** *Existe um vértice  $v \in \mathcal{C}_1$  que não é adjacente a um vértice  $u \in \mathcal{C}_3$ .*

*Demonstração da Afirmação 1:* Suponha, por absurdo, que não existe um vértice  $v \in \mathcal{C}_1$  que não é adjacente a um vértice  $u \in \mathcal{C}_3$ . Então, cada vértice  $v \in \mathcal{C}_1$  é adjacente a cada vértice  $u \in \mathcal{C}_3$ . Como por hipótese  $G$  é cúbico, as classes de cor  $\mathcal{C}_1$  e  $\mathcal{C}_3$  têm no máximo tamanho 3. Se considerarmos que  $\mathcal{C}_1$  e  $\mathcal{C}_3$  são classes de cor unitárias, então existe um vértice  $w \in \mathcal{C}_2$  tal que  $d(w) < 3$ . De fato, todo vértice  $w \in \mathcal{C}_2$  terá no máximo duas adjacências, isto é, adjacência com os vértices com cor 1 e 3, pois todos os outros terão cor 2. Consequentemente,  $G$  não é cúbico, como ilustrado na Figura 2a. Se apenas uma classe de cor ímpar é unitária, assumamos  $|\mathcal{C}_1| = 1$ , então teremos o vértice desta classe de cor adjacente a todos os três vértices  $u \in \mathcal{C}_3$ . Assim, existem no máximo dois vértices da classe de cor  $\mathcal{C}_2$ , resultando no grafo  $K_{3,3}$  (Figura 2b). Analogamente, se ambas as classes de cor ímpar têm tamanho três, tem-se que  $G$  é o grafo  $K_{3,3}$  (Figura 2c). Como em qualquer caso há uma contradição, tem-se que existe um vértice  $v \in \mathcal{C}_1$  que não é adjacente a um vértice  $u \in \mathcal{C}_3$ .  $\square$  **(Afirmação 1)**

A partir da Afirmação 1, podemos atribuir a cor 4 aos vértices  $v$  e  $u$ , resultando numa 4-coloração de vértices  $\phi$ , onde  $\mathcal{C}_1 \setminus \{v\}$  e  $\mathcal{C}_3 \setminus \{u\}$  têm tamanho par e  $|\mathcal{C}_4| = 2$ . Como, por hipótese,  $\mathcal{C}_2$  é uma classe de cor par, resulta que toda classe de cor têm mesma paridade que  $|V(G)|$ , e então  $G$  é conformable.

Se  $|V(G)|$  é ímpar, então pelo Lema 1 a deficiência de  $G$  é ímpar. Além disso, em qualquer 3-coloração de vértices ou cada classe de cor é ímpar, ou existe uma única classe de cor ímpar, pois  $|V(G)|$  é ímpar. No primeiro caso, temos que a coloração  $\phi$  com  $\mathcal{C}_4 = \emptyset$  é conformable, pois o número de classes de cor com paridade diferente de  $|V(G)|$  é 1 e a deficiência de  $G$  é ímpar, isto é,  $def(G) \geq 1$ . Para o segundo caso, note que existe ao menos uma classe de cor par não-vazia, pois se as duas classes de cor pares forem vazias o grafo  $G$  é um conjunto de vértices isolados. Seja  $\mathcal{C}_2$  uma classe de cor par não-vazia e  $\mathcal{C}_1$  a única classe de cor ímpar de  $\varphi$ . Tome  $v \in \mathcal{C}_2$  e atribua ao vértice  $v$  a cor 4 em  $\phi$ . Como  $\mathcal{C}_2 \setminus \{v\}$  é ímpar e  $|\mathcal{C}_4| = 1$ , temos que apenas  $\mathcal{C}_3$  difere da paridade de

$|V(G)|$ , isto é,  $C_3$  é par. Como  $def(G) \geq 1$ , conclui-se que  $G$  é conformable. □



**Figura 2.** Três casos que geram uma contradição para provar que existe um vértice  $v$  com cor 1 que não é adjacente a um vértice  $u$  com cor 3.

### 3. Conclusão

É interessante notar o contraste entre a complexidade computacional do problema de conformabilidade e o de coloração total para grafos cúbicos. Isto é, enquanto um é resolvido em tempo polinomial, o outro é um problema  $NP$ -difícil. Apesar de nossa caracterização definir um algoritmo polinomial para produzir uma coloração conformable em um grafo subcúbico conexo, não necessariamente esta coloração conformable se estende para uma  $(\Delta(G) + 1)$ -coloração total. Por fim, como a coloração conformable envolve contagem dos vértices, é relevante considerar ainda o problema para os grafos desconexos.

### Referências

- Behzad, M. (1965). *Graphs and their chromatic numbers*. PhD thesis, Michigan State University.
- Brooks, R. L. (1941). On colouring the nodes of a network. *Math. Proc. Camb. Philos. Soc.*, pages 194–197.
- Campos, C. N. and de Mello, C. P. (2007). A result on the total colouring of powers of cycles. *Discrete Appl. Math.*, pages 585–597.
- Chetwynd, A. G. and Hilton, A. J. W. (1988). Some refinements of the total chromatic number conjecture. *Congr. Numer.*, pages 195–216.
- Hamilton, G. M., Hilton, A. J. W., and Hind, H. R. F. (1999). Totally critical even order graphs. *J. Comb. Theory Ser. B.*, pages 262–279.
- Hilton, A. J. W. and Hind, H. R. (2002). Non-conformable subgraphs of non-conformable graphs. *Discrete Math.*, pages 203–224.
- Sánchez-Arroyo, A. (1989). Determining the total colouring number is NP-hard. *Discrete Math.*, pages 315–319.
- Vizing, V. G. (1968). Some unsolved problems in graph theory. *Russ. Math. Surv.*, pages 125–141.
- Yap, H. P. (1996). *Total colourings of graphs*. Springer.
- Zorzi, A., Figueiredo, C., Machado, R., Zatesko, L., and Souza, U. (2021). Compositions, decompositions, and conformability for total coloring on power of cycle graphs. *Discrete Appl. Math.* <https://doi.org/10.1016/j.dam.2021.06.012>.